

ATLAS DE ANATOMIA DO CÃO

Francisco Gil Cano • Rafael Latorre Reviriego • Gregorio
Ramírez Zarzosa • Octavio López Albors • María Dolores
Ayala Florenciano • Francisco Martínez Gomariz •
Cayetano Sánchez Collado • José María Vázquez Autón

Editora
MedVet
São Paulo – 2023

SUMÁRIO

SEÇÃO I. CABEÇA.

Capítulo 1	Regiões corporais	1
Capítulo 2	Esqueleto	7
Capítulo 3	Planos de dissecação	15
Capítulo 4	Encéfalo e meninges encefálicas	29
Capítulo 5	Anatomia seccional	39
Capítulo 6	Técnicas de imagem	53

SEÇÃO II. PESCOÇO E DORSO.

Capítulo 7	Regiões corporais	65
Capítulo 8	Esqueleto	67
Capítulo 9	Articulações	75
Capítulo 10	Planos de dissecação	79
Capítulo 11	Anatomia seccional e técnicas de imagem	91

SEÇÃO III. TÓRAX E CAVIDADE TORÁCICA.

Capítulo 12	Regiões corporais	105
Capítulo 13	Planos de dissecação	107
Capítulo 14	Anatomia seccional	123
Capítulo 15	Técnicas de imagem	129

SEÇÃO IV. CAVIDADE ABDOMINAL

Capítulo 16	Regiões corporais	137
Capítulo 17	Planos de dissecação	139
Capítulo 18	Anatomia seccional	163
Capítulo 19	Técnicas de imagem	167

SEÇÃO V. CAVIDADE PÉLVICA E GENITAIS EXTERNOS.

Capítulo 20	Regiões corporais	175
Capítulo 21	Planos de dissecação	177
Capítulo 22	Anatomia seccional	191
Capítulo 23	Técnicas de imagem	197

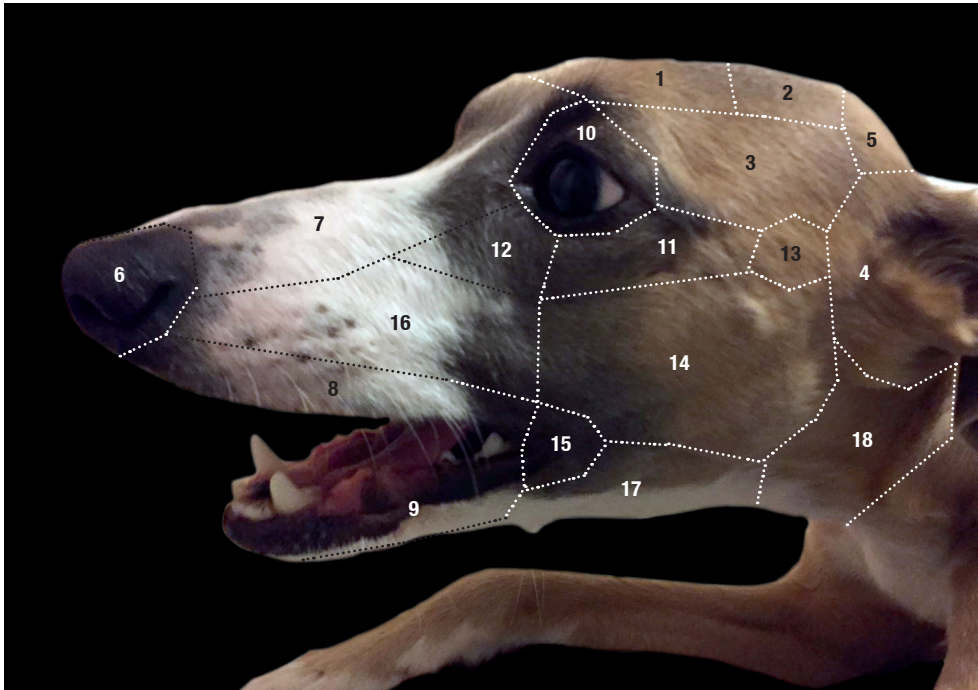
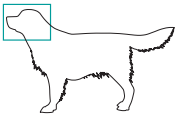


Figura 1. Regiões da cabeça, vista lateral esquerda. Regiões do crânio: **1.** Região frontal. **2.** Região parietal. **3.** Região temporal. **4.** Região auricular. **5.** Região occipital. Regiões da face: **6.** Região do nariz. **7.** Regiões nasais dorsal e lateral. **8.** Região oral: lábio superior. **9.** Região oral: lábio inferior. **10.** Região orbital. **11.** Região zigomática. **12.** Região infraorbital. **13.** Região da articulação temporomandibular. **14.** Região massetérica. **15.** Região bucal. **16.** Região maxilar. **17.** Região mandibular. **18.** Região parotídea.

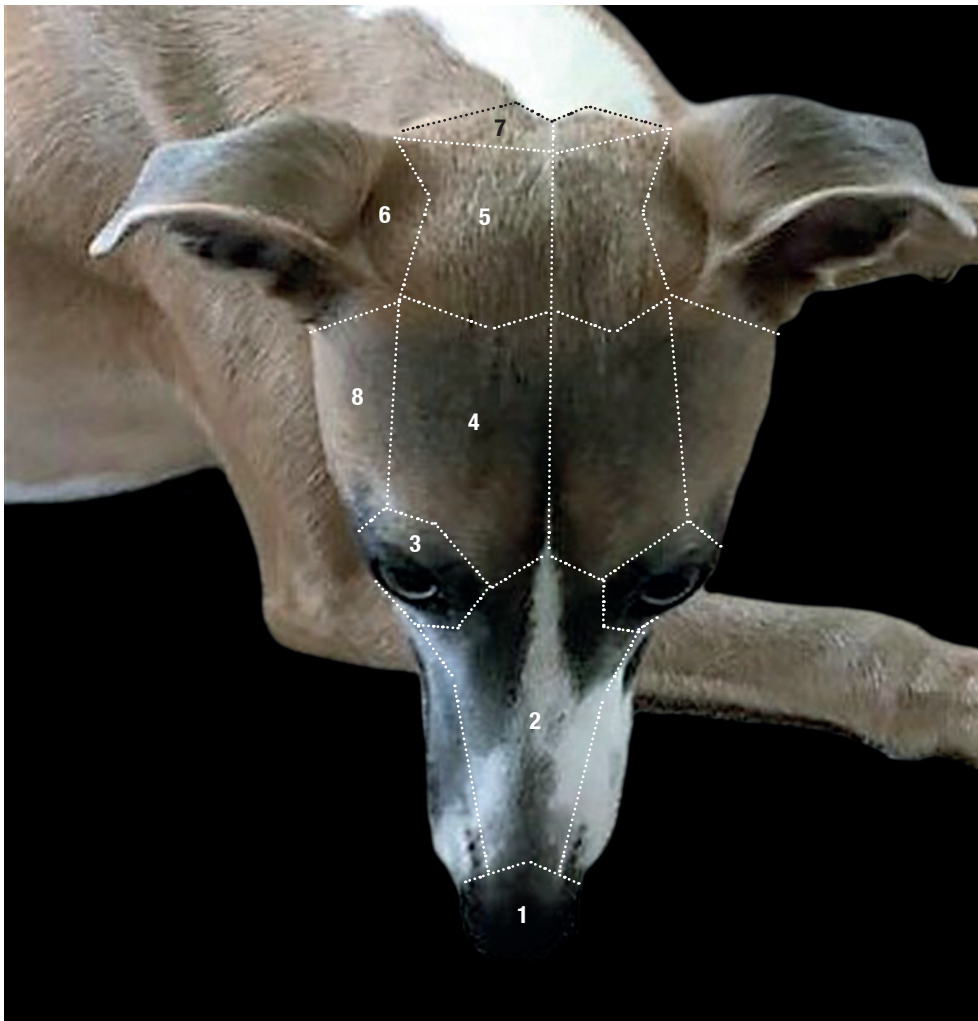


Figura 2. Regiões da cabeça, vista dorsal. **1.** Região do nariz. **2.** Regiões nasais dorsal e lateral. **3.** Região orbital: pálpebra superior. **4.** Região frontal. **5.** Região parietal. **6.** Região auricular. **7.** Região occipital. **8.** Região temporal.

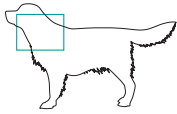


Figura 124. Dissecção lateral superficial. **1.** Músculo cutâneo do tronco. **2.** Músculo cutâneo do pescoço. **3.** Músculo platisma. **4.** Músculo esternocefálico e veia jugular externa. **5.** Músculo cleidocefálico (cleidocervical). **6.** Músculo omotransverso. **7.** Músculo trapézio cervical. **8.** Músculo trapézio torácico. **9.** Músculo deltoide. **10.** Músculo peitoral superficial e veia céfálica. **11.** Músculo tríceps. **12.** Fáscia antebráquial. **13.** Fáscia glútea. **14.** Fáscia lata. **15.** Fáscia crural. **16.** Veia safena lateral.



Figura 125. Dissecção lateral superficial após remoção dos músculos cutâneos. **1.** Fáscia toracolombar. **2.** Músculo grande dorsal. **3.** Músculo cutâneo do tronco (cortado). **4.** Músculo oblíquo externo do abdome. **5.** Músculo reto do abdome. **6.** Músculo peitoral profundo (ascendente). **7.** Músculo trapézio torácico. **8.** Músculo trapézio cervical. **9.** Músculo cleidocefálico (cleidocervical). **10.** Músculo esternocefálico (esterno-occipital). **11.** Músculo omotransverso. **12.** Veia jugular externa. **13.** Veia omobraquial e porção acromial do músculo deltoide. **14.** Veia axilobraquial. **15.** Músculo deltoide (porção escapular). **16.** Músculo tríceps braquial (cabeça lateral). **17.** Músculo tríceps braquial (cabeça longa). **18.** Músculo peitoral superficial. **19.** Veia céfálica e nervo cutâneo lateral do antebraço. **20.** Músculos extensores do carpo e dos dedos. **21.** Músculo glúteo médio. **22.** Músculo glúteo superficial. **23.** Músculo tensor da fáscia lata. **24.** Músculo sartório (porção cranial). **25.** Músculo bíceps femoral. **26.** Músculo semitendinoso. **27.** Fáscia lata. **28.** Fáscia crural.

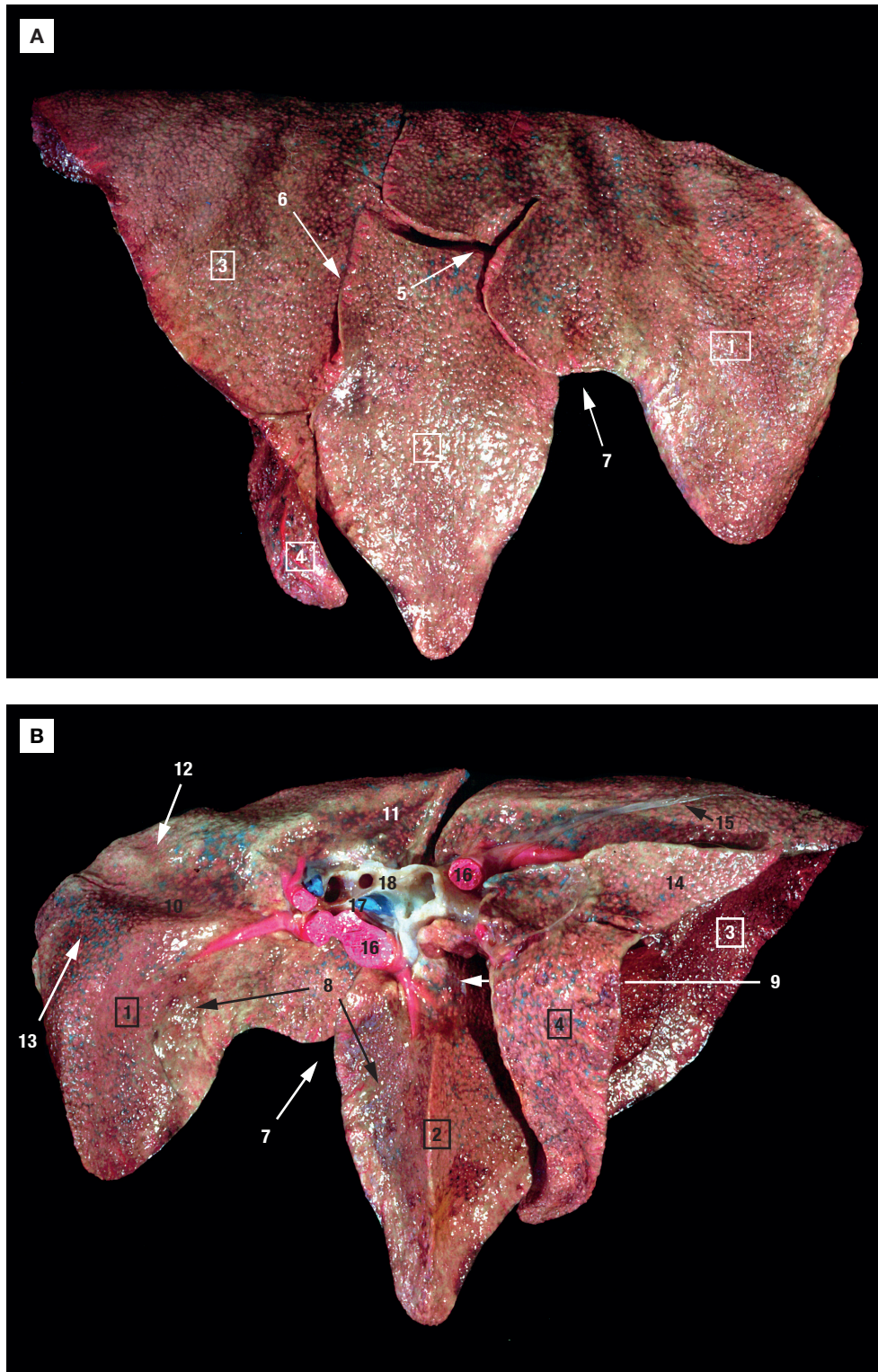


Figura 174. (A) Faces costal, **(B)** mediastinal e diafragmática do pulmão direito do cão, tratado com técnicas de plastinação e repleção vascular com látex colorido. Em B (faces mediastinal e diafragmática), se observa o hilo e a raiz pulmonar com as veias pulmonares preenchidas com látex vermelho e a artéria pulmonar direita com látex azul. Os brônquios lobares não estão preenchidos. **1.** Lobo cranial do pulmão direito. **2.** Lobo médio do pulmão direito. **3.** Lobo caudal do pulmão direito. **4.** Lobo acessório do pulmão direito. **5.** Fissura interlobar cranial. **6.** Fissura interlobar caudal. **7.** Incisura cardíaca do pulmão direito. **8.** Impressão cardíaca. **9.** Sulco da veia cava caudal. **10.** Impressão da veia cava cranial. **11.** Impressão da veia ázigos direita. **12.** Impressão da veia costocervical. **13.** Impressão da artéria e veia torácica interna. **14.** Impressão esofágica. **15.** Ligamento pulmonar. **16.** Veias pulmonares (látex vermelho). **17.** Artéria pulmonar direita (ramos lobares). **18.** Brônquios lobares.

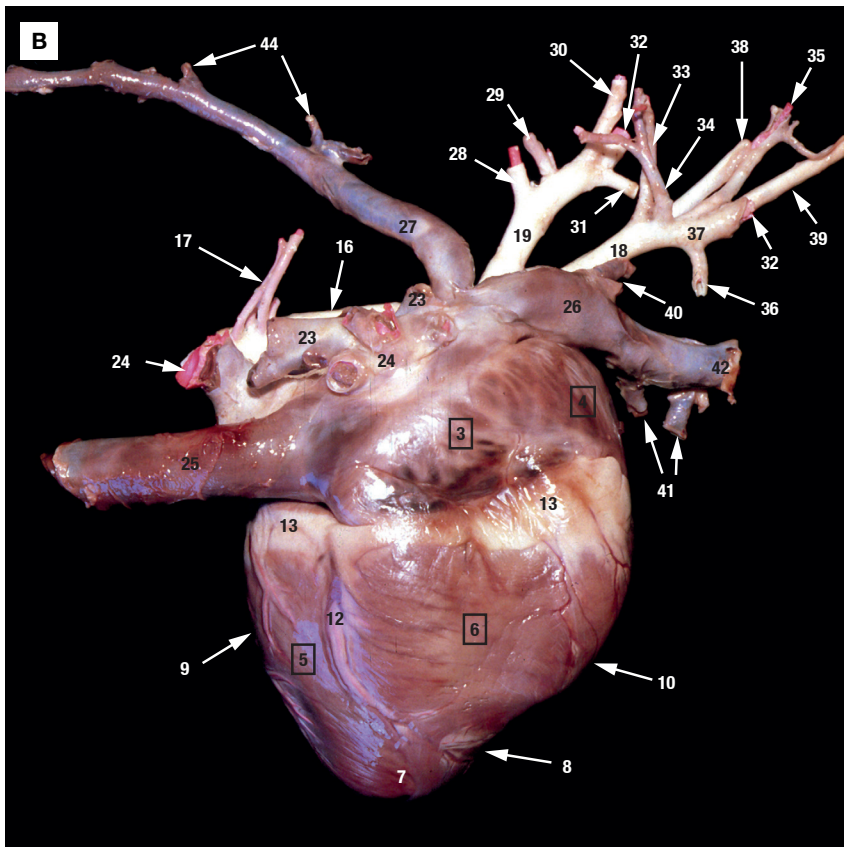
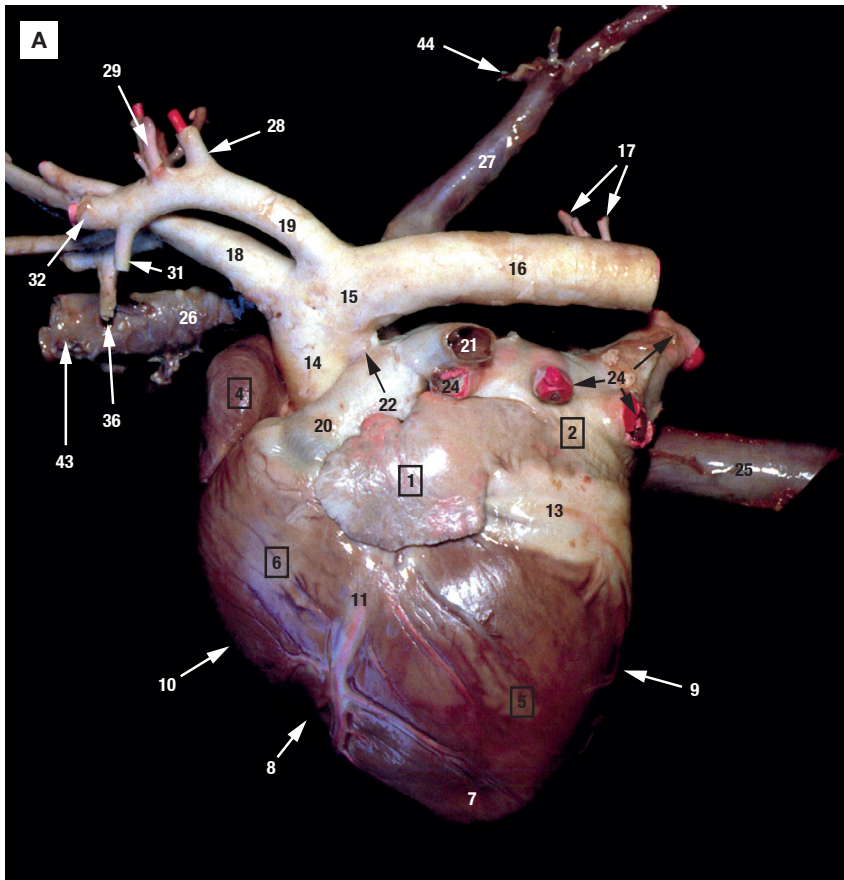
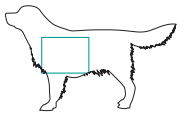


Figura 175. Imagens das faces auriculares **(A)** e atriais **(B)** do coração do cão, respectivamente, e as principais artérias e veias da cavidade torácica. Em relação aos sulcos interventriculares paraconal e subsinuoso, notam-se algumas ramificações da artéria coronária esquerda repletas com látex, fato também evidente em outras artérias e veias pulmonares. **1.** Aurícula esquerda. **2.** Átrio esquerdo. **3.** Átrio direito. **4.** Aurícula direita. **5.** Ventrículo esquerdo. **6.** Ventrículo direito. **7.** Ápice do coração. **8.** Incisura do ápice do coração. **9.** Borda ventricular esquerda. **10.** Borda ventricular direita. **11.** Sulco interventricular paraconal. **12.** Sulco interventricular subsinuoso. **13.** Sulco coronário coberto de gordura. **14.** Aorta ascendente. **15.** Arco aórtico. **16.** Aorta descendente: aorta torácica. **17.** Artérias intercostais dorsais. **18.** Tronco braquicefálico. **19.** Artéria subclávia esquerda. **20.** Tronco pulmonar. **21.** Artéria pulmonar esquerda. **22.** Ligamento arterioso. **23.** Artéria pulmonar direita: ramos lobares. **24.** Veias pulmonares. **25.** Veia cava caudal. **26.** Veia cava cranial. **27.** Veia ázigos direita. **28.** Artéria vertebral esquerda. **29.** Tronco costocervical esquerdo. **30.** Artéria cervical superficial esquerda. **31.** Artéria torácica interna esquerda. **32.** Artérias axilares esquerda e direita. **33.** Artéria vertebral direita. **34.** Tronco costocervical direito. **35.** Artéria cervical superficial direita. **36.** Artéria torácica interna direita. **37.** Artéria subclávia direita. **38.** Artéria carótida comum esquerda. **39.** Artéria carótida comum direita. **40.** Veias costocervicais. **41.** Veias torácicas internas. **42.** Veia braquicefálica direita. **43.** Veia braquicefálica esquerda. **44.** Veias intercostais dorsais.

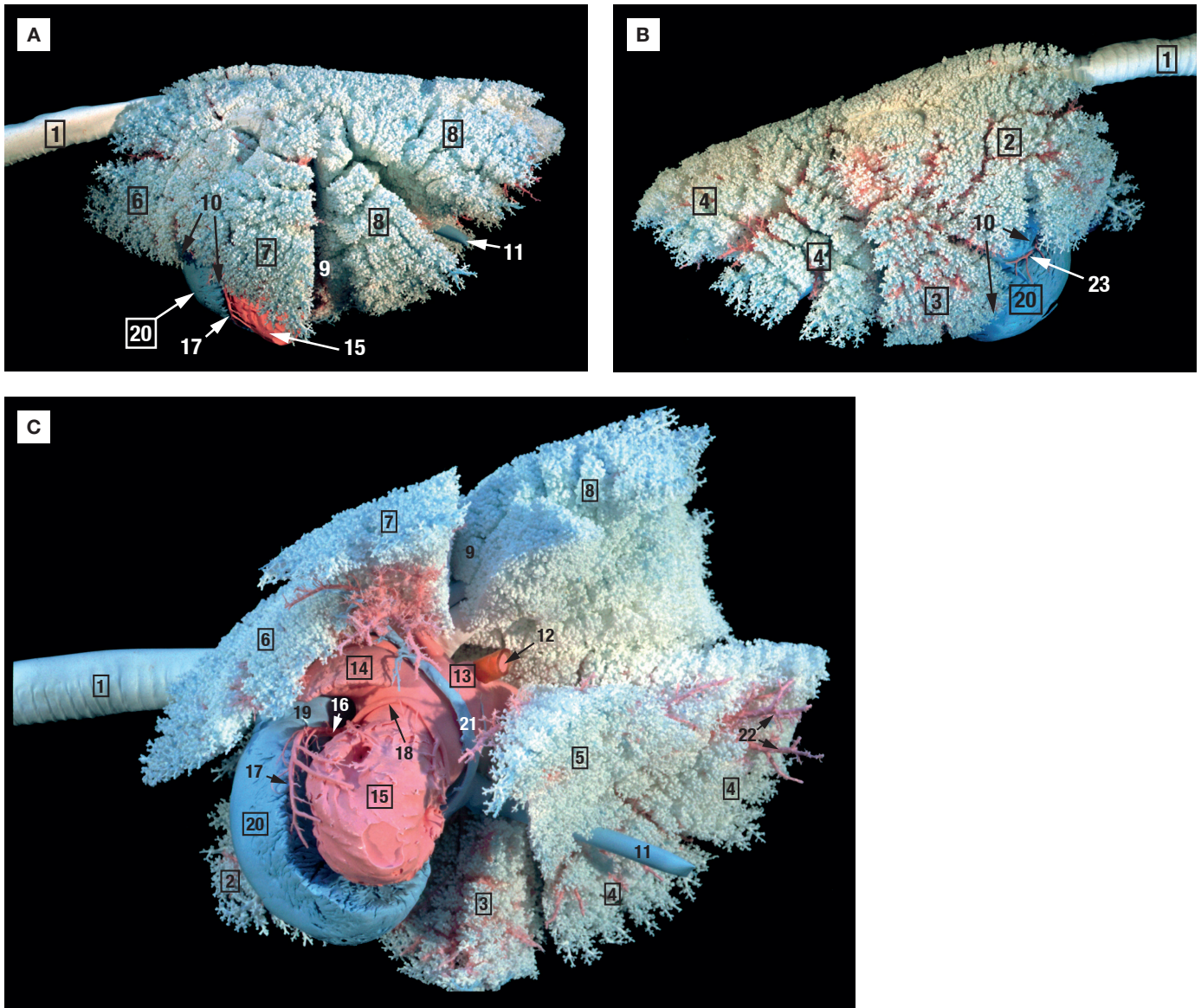
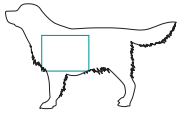


Figura 179. Molde bronquial e vascular dos pulmões e coração do cão, obtido pela técnica de repleção com silicone P45 Inc. e posterior corrosão. Vistas laterais esquerda e direita (A e B, respectivamente). Vista ventrolateral esquerda (C). 1. Traqueia. 2. Lobo cranial do pulmão direito. 3. Lobo médio do pulmão direito. 4. Lobo caudal do pulmão direito. 5. Lobo acessório do pulmão direito. 6. Lobo cranial do pulmão esquerdo: porção cranial. 7. Lobo cranial do pulmão esquerdo: porção caudal. 8. Lobo caudal do pulmão esquerdo. 9. Fissura interlobar caudal. 10. Incisuras cardíacas. 11. Veia cava caudal. 12. Veia pulmonar do lobo caudal esquerdo. 13. Átrio esquerdo. 14. Aurícula esquerda. 15. Ventriculo esquerdo. 16. Artéria coronária esquerda. 17. Artéria coronária esquerda: ramo interventricular paraconal. 18. Artéria coronária esquerda: ramo circunflexo. 19. Tronco pulmonar. 20. Ventriculo direito. 21. Veia magna do coração. 22. Veia pulmonar do lobo caudal direito. 23. Artéria coronária direita.

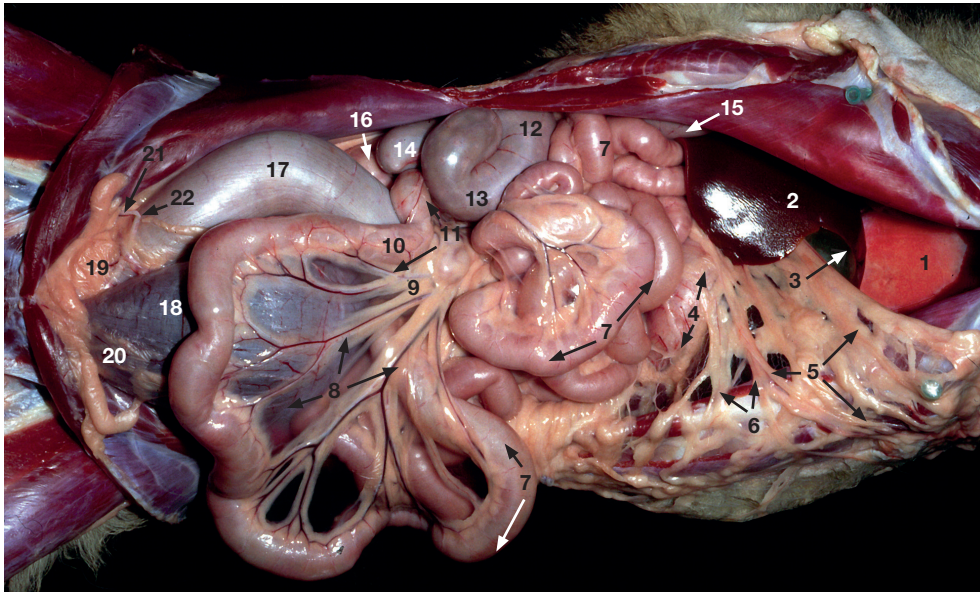


Figura 205. Imagem ventral do jejun, íleo e ceco do cão. O omento maior e algumas alças jejunais foram deslocadas cranialmente. O íleo e as alças jejunais, localizadas mais caudalmente, aparecem estendidas sobre a bexiga e o flanco esquerdo do abdome para mostrar o mesentério, bem como os vasos e linfonodos jejunais. Observa-se a topografia do ceco, próximo da flexura caudal do duodeno, em sentido do flanco direito. 1. Centro tendinoso do diafragma. Por transparência, se nota o parênquima pulmonar 2. Lobo medial direito do fígado. 3. Vesícula biliar em sua fossa no fígado. 4. Estômago (curvatura maior). Se observa através do omento maior. 5. Parede profunda do omento maior, infiltrada de gordura, fixada na curvatura maior do estômago. 6. Lobo esquerdo do fígado coberto pelo omento maior. 7. Jejun. As alças jejunais, localizadas mais caudalmente, foram reclinadas sobre a bexiga e o flanco esquerdo do abdome. 8. Mesentério: Mesojejuno e mesoíleo. Se visibilizam a gordura mesentérica e os vasos sanguíneos do jejun e íleo. 9. Linfonodos jejunais (linfocentro mesentérico cranial). 10. Íleo. A junção ileocólica está coberta pelo ceco. 11. Ramo ileal antimesentérico e artérias do íleo. 12. Base do ceco. 13. Corpo do ceco. 14. Ápice do ceco. 15. Cólon ascendente. 16. Flexura caudal do duodeno. 17. Cólon descendente. 18. Bexiga ou vesícula urinária. 19. Ligamento lateral da bexiga. 20. Ligamento mediano da bexiga. 21. Anel vaginal. 22. Ducto deferente direito.

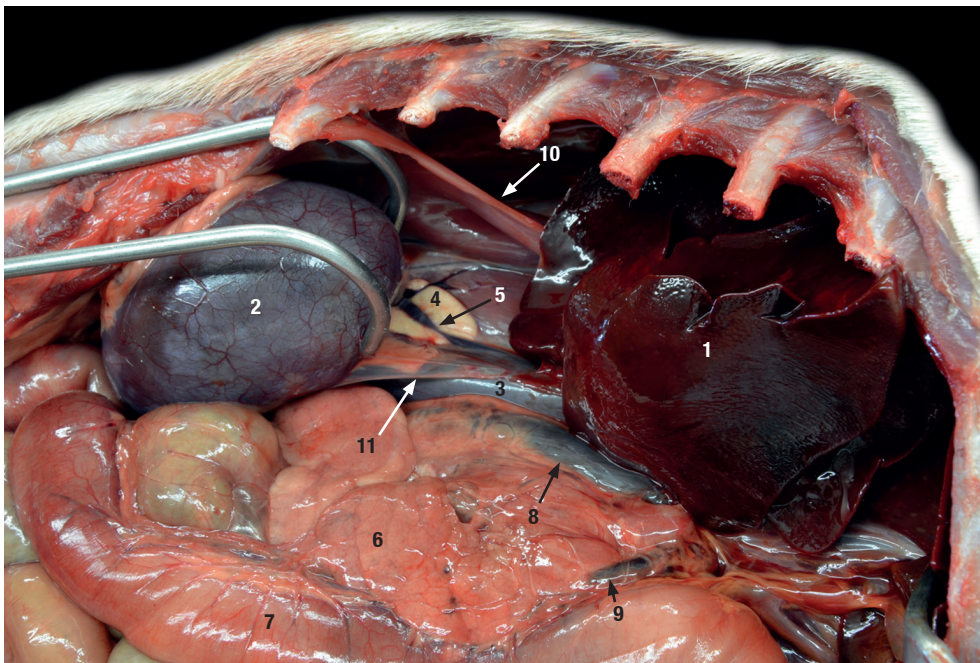


Figura 206. Imagem dorsolateral direita do abdome do cão. Foram retiradas a parede do abdome e parcialmente as costelas. O rim direito foi tracionado caudalmente para visibilizar os vasos. 1. Processo caudado do lobo caudado do fígado. 2. Rim direito. 3. Veia cava caudal. 4. Glândula adrenal. 5. Tronco comum para as veias frênica caudal e abdominal cranial. 6. Lobo direito do pâncreas. 7. Duodeno descendente. 8. Veia mesentérica cranial. 9. Veia pancreaticoduodenal cranial. 10. Diafragma. 11. Ligamento hepatorenal.

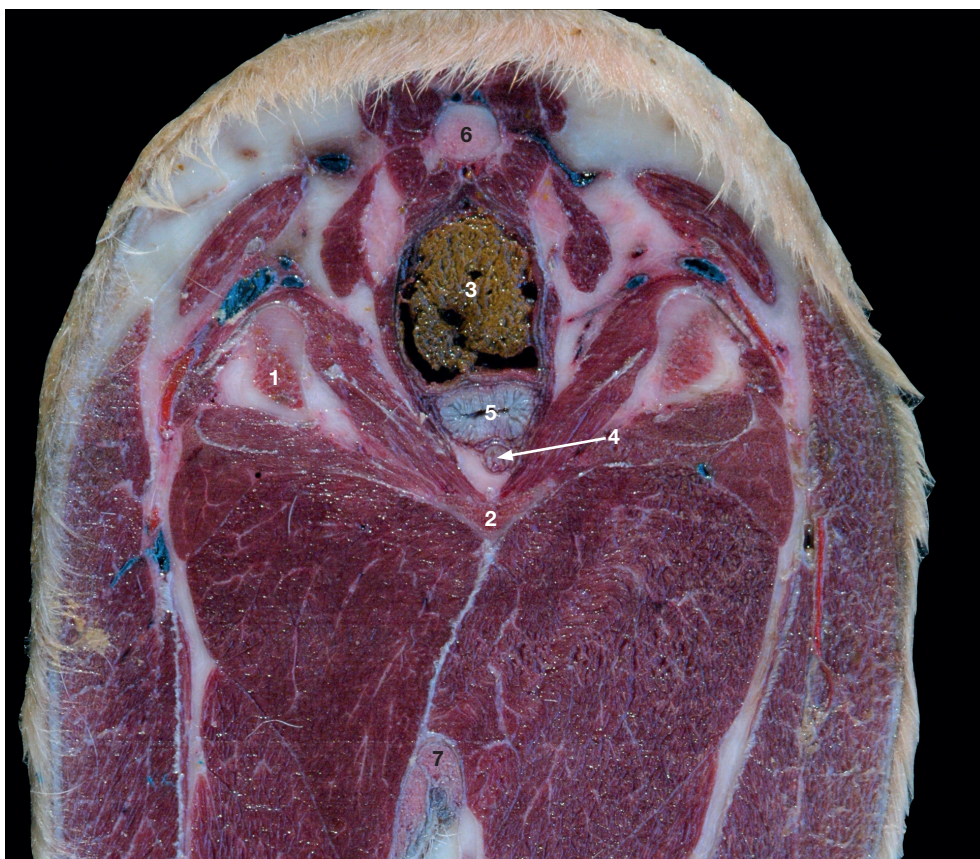
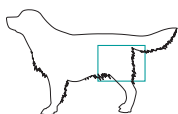


Figura 274. Seção transversal da cavidade pélvica da cadela. Se notam o reto, a vagina e a uretra seccionadas. 1. Ísquio: tuberosidade. 2. Púbis. 3. Reto. 4. Uretra. 5. Vagina. 6. Vértebra caudal. 7. Glândula mamária.



Figura 275. Seção transversal da cavidade pélvica ao nível do canal anal e vestibulo vaginal da cadela. Se notam os seios paranasais seccionados. 1. Ísquio: tuberosidade. 2. Púbis. 3. Reto. 4. Vestíbulo vaginal. 5. Sacos anais. 6. Vértebra caudal. 7. Glândula mamária.

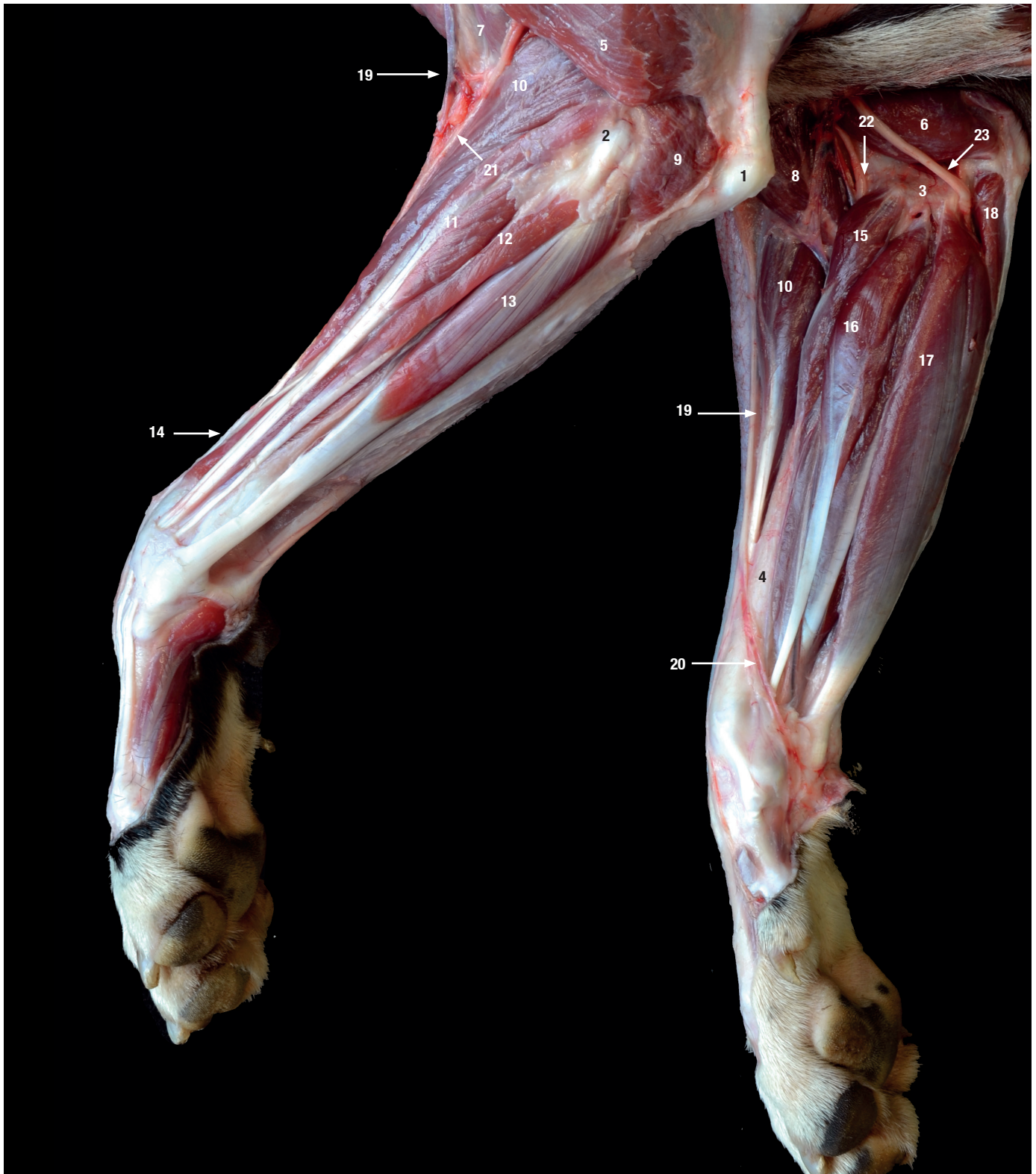
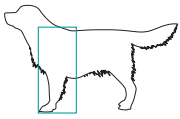


Figura 305. Plano superficial de dissecação dos membros torácicos do cão. O membro torácico esquerdo mostra sua face lateral e, por estar deslocado cranialmente, permite-se observar a face medial do membro torácico direito. **1.** Tuberosidade do olécrano. **2.** Epicôndilo lateral do úmero. **3.** Epicôndilo medial do úmero. **4.** Corpo do rádio. **5.** Músculo tríceps braquial: cabeça lateral. **6.** Músculo tríceps braquial: cabeça medial. **7.** Músculo braquial. **8.** Músculo bíceps braquial. **9.** Músculo ancônio. **10.** Músculo extensor carporradial. **11.** Músculo extensor digital comum. **12.** Músculo extensor digital lateral. **13.** Músculo extensor carpoulnar. **14.** Músculo abductor longo do dedo I. **15.** Músculo pronador redondo. **16.** Músculo flexor carporradial. **17.** Músculo flexor digital superficial. **18.** Músculo flexor carpoulnar. **19.** Veia cefálica. **20.** Veia cefálica acessória. **21.** Nervos cutâneo lateral do antebraço. **22.** Nervos mediano. **23.** Nervos ulnar.

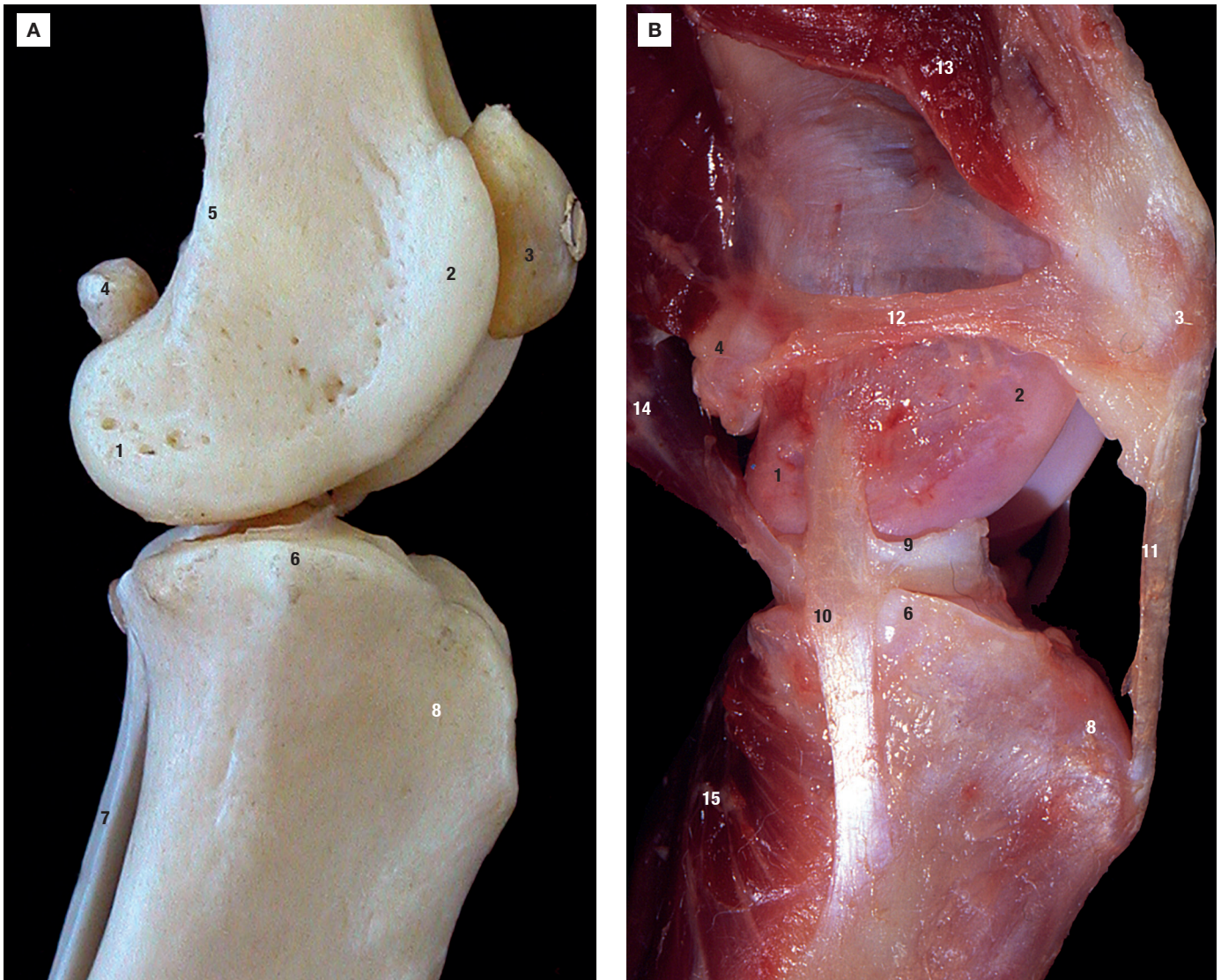
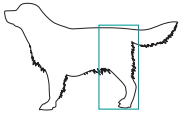


Figura 347. Imagens mediais da articulação do joelho. **(A)** Imagem de osteologia. **(B)** Imagem de dissecação, na qual se mostram ligamentos e tendões. **1.** Côndilo medial do fêmur. **2.** Tróclea do fêmur: lábio medial. **3.** Patela. **4.** Sesamoide do músculo gastrocnêmio. **5.** Tuberosidade supracondilar medial. **6.** Côndilo medial da tíbia. **7.** Corpo da fíbula. **8.** Tuberosidade da tíbia. **9.** Menisco medial. **10.** Ligamento colateral medial da articulação femorotibial. **11.** Ligamento patelar. **12.** Ligamento femoropatelar medial. **13.** Músculo quadríceps femoral. **14.** Músculo semimembranoso. **15.** Músculo poplíteo.

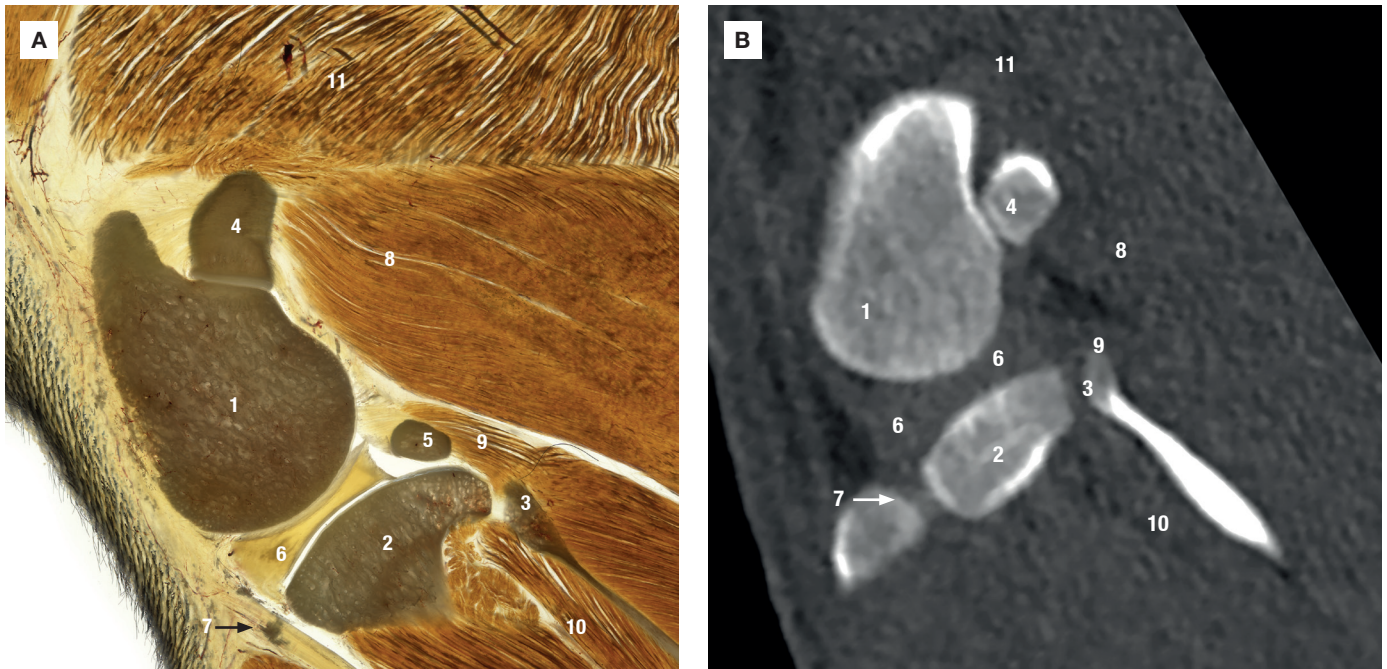
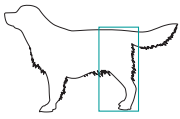


Figura 382. Secção sagital da articulação do joelho ao nível de côndilo lateral do fêmur. **(A)** Imagem de secção plastinada e **(B)** imagem de tomografia computadorizada (TC). **1.** Lateral do fêmur. **2.** Côndilo lateral da tíbia. **3.** Cabeça da fíbula. **4.** Sesamoide gastrocnêmio lateral (fabela). **5.** Sesamoide poplíteo. **6.** Menisco lateral. **7.** Tendão de origem do músculo extensor digital longo. **8.** Cabeça lateral do músculo gastrocnêmio. **9.** Músculo poplíteo. **10.** Músculo flexor digital lateral. **11.** Músculo bíceps femoral.

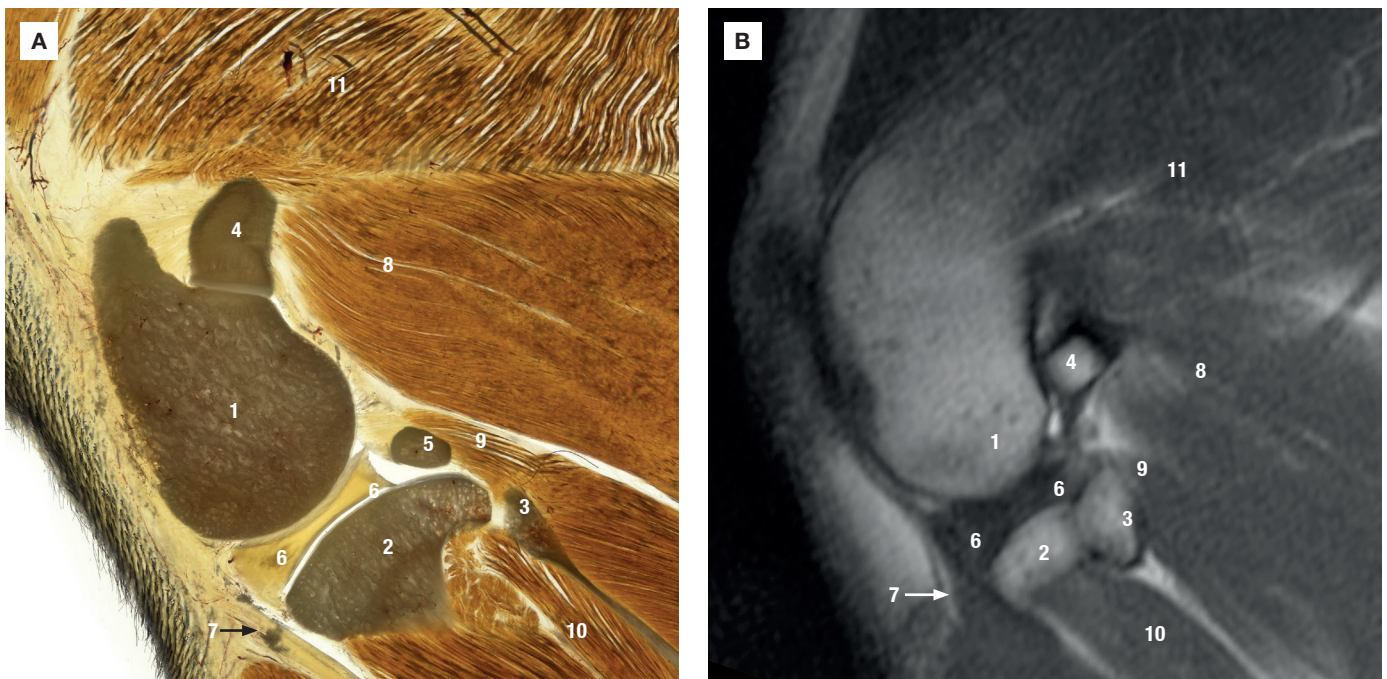


Figura 383. Secção sagital da articulação do joelho ao nível do côndilo lateral do fêmur. **(A)** Imagem de secção plastinada e **(B)** Imagem de ressonância magnética (RM). **1.** Côndilo lateral do fêmur. **2.** Côndilo lateral da tíbia. **3.** Cabeça da fíbula. **4.** Sesamoide do gastrocnêmio lateral (fabela). **5.** Sesamoide poplíteo. **6.** Menisco lateral. **7.** Tendão de origem do músculo extensor digital longo. **8.** Cabeça lateral do músculo gastrocnêmio. **9.** Músculo poplíteo. **10.** Músculo flexor digital lateral. **11.** Músculo bíceps femoral.